

CC6927

高性能霍尔效应电流传感器
50A/100A/150A

特性

- ◆ 提供 VCC/2 零电流基准输出
- ◆ 高带宽, 低噪声, 单端模拟输出
- ◆ 导线引脚到信号引脚有 $100V_{RMS}$ 的隔离耐压
- ◆ 低损耗, 导线电阻 $0.3m\Omega$
- ◆ 带宽高, 可达 $250kHz$, 阶跃响应时间 $1.2\mu s$
- ◆ 常温误差 1%, 灵敏度温漂可达 $\pm 2.5\%$
- ◆ 温度稳定性好, 采用霍尔信号放大电路和温度补偿电路
- ◆ 差分霍尔结构, 抗外部磁干扰能力强
- ◆ 抗机械应力强, 磁参数不会因为受外界压力而偏移
- ◆ 可调快速过流故障
- ◆ ESD (HBM) $4kV$

应用

- ◆ 电机控制
- ◆ 负载监测系统
- ◆ 开关电源
- ◆ 过流故障保护

产品封装图



概述

CC6927 是一款高性能霍尔效应电流传感器, 能够更有效的测量直流或交流电流, 并具有精度高、线性度和温度稳定性好的优点, 广泛应用于工业、消费类及通信类设备。

CC6927 由高精度、低噪声的线性霍尔集成电路和一根低阻抗的主电流导线组成。 $0.3m\Omega$ 的超低阻抗的导线可最大限度减少功率损耗和热散耗。内部固有绝缘在原边与副边电路之间提供了 $100V_{RMS}$ 的隔离耐压。传感器采用线性霍尔传感器温度补偿技术, 具有较高的温度稳定特性。

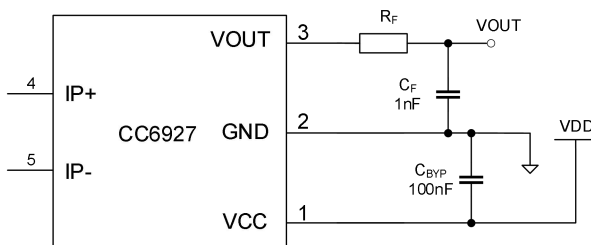
CC6927 内部集成的差分共模抑制电路可以让芯片输出不受外部干扰磁信号影响; 集成的动态失调消除电路使芯片的灵敏度不受外界压力和芯片封装应力的影响。

CC6927 提供 DFN (6.4×6.4)封装, 工作温度范围为-40 至 +125°C, 符合 RoHS 相关规定要求。

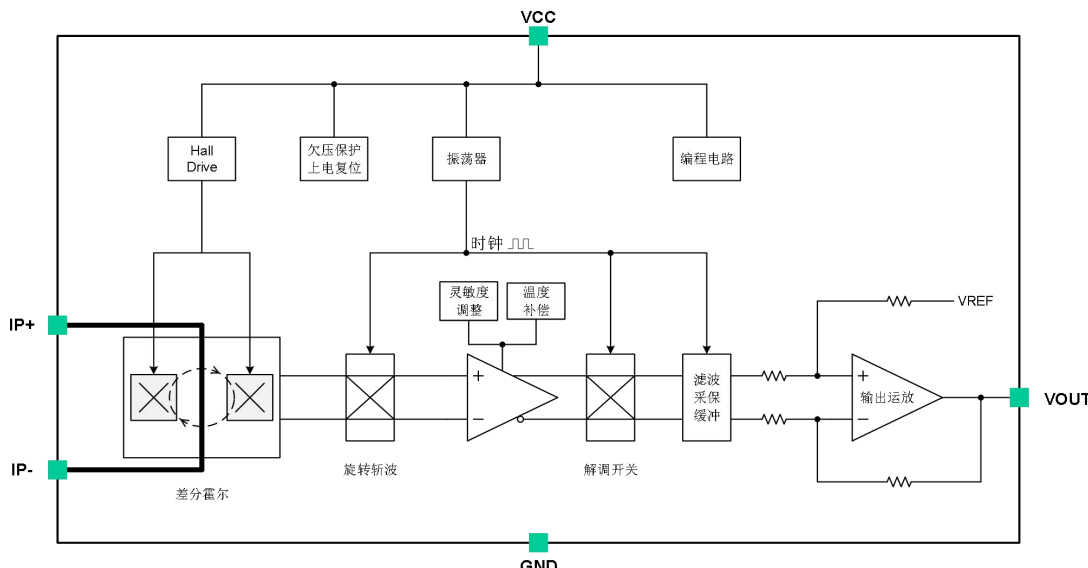
器件信息

| 器件型号 | 封装外形 | 封装尺寸 (典型值) |
|----------|---------------|---------------|
| CC6927D5 | DFN (6.4×6.4) | 6.40mm×6.40mm |

典型应用



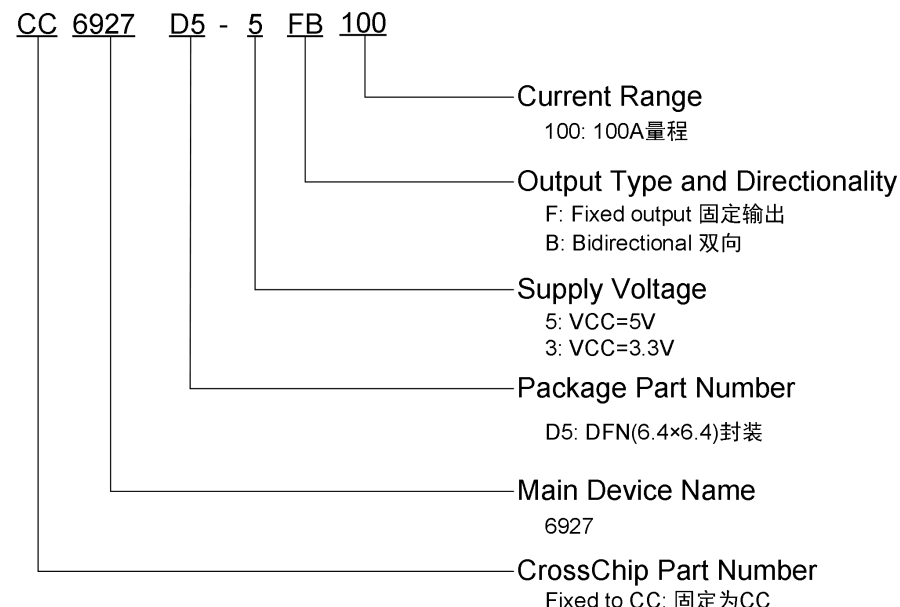
功能框图



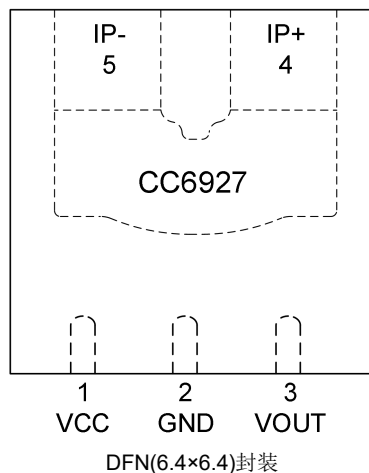
订购信息

| 产品名称 | 灵敏度 (mV/A) | 封装外形 | 包装 |
|-----------------|------------|--------------|--------------|
| CC6927D5-5FB050 | 40 | DFN(6.4×6.4) | 编带, 4000 片/卷 |
| CC6927D5-5FB100 | 20 | DFN(6.4×6.4) | 编带, 4000 片/卷 |
| CC6927D5-5FB150 | 13.33 | DFN(6.4×6.4) | 编带, 4000 片/卷 |
| CC6927D5-3FB050 | 26.4 | DFN(6.4×6.4) | 编带, 4000 片/卷 |
| CC6927D5-3FB100 | 13.2 | DFN(6.4×6.4) | 编带, 4000 片/卷 |
| CC6927D5-3FB150 | 8.8 | DFN(6.4×6.4) | 编带, 4000 片/卷 |

产品名称定义



管脚定义



DFN(6.4x6.4)封装

| 名称 | 编号 | 功能 |
|------|----|--------|
| VCC | 1 | 电源电压 |
| GND | 2 | 地 |
| VOUT | 3 | 信号输出端 |
| IP+ | 4 | 采样电流正端 |
| IP- | 5 | 采样电流负端 |

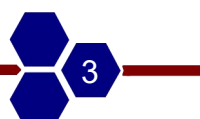
极限参数

| 参数 | 符号 | 数值 | 单位 |
|----------------|------------|---------------------|----|
| 电源电压 | V_{CC} | 6.5 | V |
| 输出电压 | V_{OUT} | -0.3~ V_{CC} +0.3 | V |
| 输入电流峰值电流 (3 秒) | I_{PEAK} | 150 | A |
| 输入电流持续电流 | I_{CON} | 75 | A |
| 工作环境温度 | T_A | -40~125 | °C |
| 最大结温 | T_J | 165 | °C |
| 存储环境温度 | T_S | -55~150 | °C |
| 静电保护 (ESD) | HBM | 4 | kV |

注意: 应用时不要超过最大额定值, 以防止损坏。长时间工作在最大额定值的情况下可能影响器件的可靠性。

隔离特性

| 参数 | 符号 | 测试条件/注释 | 数值 | 单位 |
|------|-----------|-----------------------|------|-----------|
| 隔离耐压 | V_{ISO} | 50/60Hz, 1min | 100 | V_{RMS} |
| | | $t = 1s$ | 150 | |
| 电气间隙 | D_{cl} | 从 IP 到信号导线的最小空气距离。 | 1.79 | mm |
| 爬电距离 | D_{cr} | 沿封装体从 IP 导线到信号导线的最小距离 | 1.79 | mm |



工作特性 (若无特别指明, $V_{CC} = 5V/3.3V$, $T_A = 25^\circ C$)

| 参数 | 符号 | 条件 | 最小值 | 典型值 | 最大值 | 单位 |
|---------------------------------------|--------------|---|-----|-----|-----|-----|
| 电源部分, $V_{CC}=5V$ | | | | | | |
| 供电电压 | V_{CC} | 5V 标称供电电压系列 | 4.5 | 5.0 | 5.5 | V |
| 欠压保护释放阈值 | UV | $V_{CC} > UV$, 欠压保护释放 | | 4.1 | | V |
| 欠压保护迟滞电压 | UV_{HYS} | $V_{CC} < UV - UV_{HYS}$, 锁定芯片 | | 0.2 | | V |
| 静态电流 | I_{CC} | | 18 | 22 | 28 | mA |
| 上电复位时间 | t_{POR} | | | 22 | | μs |
| 电源部分, $V_{CC}=3.3V$ | | | | | | |
| 供电电压 | V_{CC} | 3.3V 标称供电电压系列 | 3.0 | 3.3 | 3.6 | V |
| 欠压保护释放阈值 | UV | $V_{CC} > UV$, 欠压保护释放 | | 2.8 | | V |
| 欠压保护迟滞电压 | UV_{HYS} | $V_{CC} < UV - UV_{HYS}$, 锁定芯片 | | 0.1 | | V |
| 静态电流 | I_{CC} | | 16 | 19 | 25 | mA |
| 上电复位时间 | t_{POR} | | | 22 | | μs |
| 输出部分, V_{OUT} | | | | | | |
| V_{OUT} 滤波电容 | C_O | 输出 V_{OUT} 节点到 GND | | 1 | 2.2 | nF |
| V_{OUT} 负载电阻 | R_L | 输出节 V_{OUT} 点到 GND | 4.7 | | | kΩ |
| V_{OUT} 高饱和电压 | V_{SATH} | $V_{SATH} = V_{CC} - OUT$, $R_L=10k\Omega$ 到 GND | | 0.1 | 0.2 | V |
| V_{OUT} 低饱和电压 | V_{SATL} | $V_{SATL} = OUT$, $R_L=10k\Omega$ 到 V_{CC} | | 0.1 | 0.2 | V |
| V_{OUT} 输出源电流 | I_{SOURCE} | V_{OUT} 到 GND 最大输出电流 | | 8 | | mA |
| V_{OUT} 输出沉电流 | I_{SINK} | V_{OUT} 到 V_{CC} 最大输出电流 | | 28 | | mA |
| 信号链-3dB 带宽 | f_{3dB} | 小信号-3dB 带宽 | | 250 | | kHz |
| 信号响应时间 | t_{RES} | 输入电流 90% 至 V_{OUT} 建立 90% | | 1.2 | 2 | μs |
| 导通电阻 | | | | | | |
| 原边导通电阻 | R_P | $T_A=25^\circ C$, $I_P=10A$ | | 0.3 | | mΩ |

CC6927D5-5FB050 (若无特别指明, $V_{CC}=5V$, $T_A=25^\circ C$)

| 参数 | 符号 | 条件 | 最小值 | 典型值 | 最大值 | 单位 |
|-------------|---------------------|--|------|------|------|------|
| 电流范围 | I_P | - | -50 | | 50 | A |
| 灵敏度 | $Sens$ | 全电流范围 | | 40 | | mV/A |
| 输出噪声有效值 | $V_{N(RMS)}$ | $I_P=0A$ | | 7 | | mV |
| 零电流静态输出电压 | $V_{OUT(Q)}$ | $T_A=25^\circ C, I_P=0A$ | 2.49 | 2.50 | 2.51 | V |
| 零电流静态输出电压温漂 | $\Delta V_{OUT(Q)}$ | $T_A=-40^\circ C \sim 125^\circ C$ $V_{OUT(Q)} \text{电压温漂} = V_{OUT(Q, TA)} - V_{OUT(Q, 25^\circ C)}$ | -20 | | 20 | mV |
| 灵敏度温漂 | $\Delta Sens$ | $T_A=-40^\circ C \sim 125^\circ C$ | -3.0 | | 3.0 | % |
| 总输出误差 | E_{TOT} | $T_A=-40^\circ C \sim 125^\circ C, I_P=I_{P_MAX}$ | -3.5 | | 3.5 | % |

CC6927D5-5FB100 (若无特别指明, $V_{CC}=5V$, $T_A=25^\circ C$)

| 参数 | 符号 | 条件 | 最小值 | 典型值 | 最大值 | 单位 |
|-------------|---------------------|--|------|------|------|------|
| 电流范围 | I_P | - | -100 | | 100 | A |
| 灵敏度 | $Sens$ | 全电流范围 | | 20 | | mV/A |
| 输出噪声有效值 | $V_{N(RMS)}$ | $I_P=0A$ | | 3.5 | | mV |
| 零电流静态输出电压 | $V_{OUT(Q)}$ | $T_A=25^\circ C, I_P=0A$ | 2.49 | 2.50 | 2.51 | V |
| 零电流静态输出电压温漂 | $\Delta V_{OUT(Q)}$ | $T_A=-40^\circ C \sim 125^\circ C$ $V_{OUT(Q)} \text{电压温漂} = V_{OUT(Q, TA)} - V_{OUT(Q, 25^\circ C)}$ | -15 | | 15 | mV |
| 灵敏度温漂 | $\Delta Sens$ | $T_A=-40^\circ C \sim 125^\circ C$ | -3.0 | | 3.0 | % |
| 总输出误差 | E_{TOT} | $T_A=-40^\circ C \sim 125^\circ C, I_P=I_{P_MAX}$ | -3.5 | | 3.5 | % |

CC6927D5-5FB150 (若无特别指明, $V_{CC}=5V$, $T_A=25^\circ C$)

| 参数 | 符号 | 条件 | 最小值 | 典型值 | 最大值 | 单位 |
|-------------|---------------------|--|------|-------|------|------|
| 电流范围 | I_P | - | -150 | | 150 | A |
| 灵敏度 | $Sens$ | 全电流范围 | | 13.33 | | mV/A |
| 输出噪声有效值 | $V_{N(RMS)}$ | $I_P=0A$ | | 2.3 | | mV |
| 零电流静态输出电压 | $V_{OUT(Q)}$ | $T_A=25^\circ C, I_P=0A$ | 2.49 | 2.50 | 2.51 | V |
| 零电流静态输出电压温漂 | $\Delta V_{OUT(Q)}$ | $T_A=-40^\circ C \sim 125^\circ C$ $V_{OUT(Q)} \text{电压温漂} = V_{OUT(Q, TA)} - V_{OUT(Q, 25^\circ C)}$ | -15 | | 15 | mV |
| 灵敏度温漂 | $\Delta Sens$ | $T_A=-40^\circ C \sim 125^\circ C$ | -3.0 | | 3.0 | % |
| 总输出误差 | E_{TOT} | $T_A=-40^\circ C \sim 125^\circ C, I_P=I_{P_MAX}$ | -3.5 | | 3.5 | % |

CC6927D5-3FB050 (若无特别指明, $V_{CC}=3.3V$, $T_A=25^\circ C$)

| 参数 | 符号 | 条件 | 最小值 | 典型值 | 最大值 | 单位 |
|-------------|---------------------|--|-------|-------|-------|------|
| 电流范围 | I_P | - | -50 | | 50 | A |
| 灵敏度 | $Sens$ | 全电流范围 | | 26.4 | | mV/A |
| 输出噪声有效值 | $V_{N(RMS)}$ | $I_P=0A$ | | 7 | | mV |
| 零电流静态输出电压 | $V_{OUT(Q)}$ | $T_A=25^\circ C$, $I_P=0A$ | 1.637 | 1.650 | 1.663 | V |
| 零电流静态输出电压温漂 | $\Delta V_{OUT(Q)}$ | $T_A=-40^\circ C \sim 125^\circ C$ $V_{OUT(Q)} \text{电压温漂} = V_{OUT(Q, TA)} - V_{OUT(Q, 25^\circ C)}$ | -20 | | 20 | mV |
| 灵敏度温漂 | $\Delta Sens$ | $T_A=-40^\circ C \sim 125^\circ C$ | -2.5 | | 2.5 | % |
| 总输出误差 | E_{TOT} | $T_A=-40^\circ C \sim 125^\circ C$, $I_P=I_{P_MAX}$ | -3.0 | | 3.0 | % |

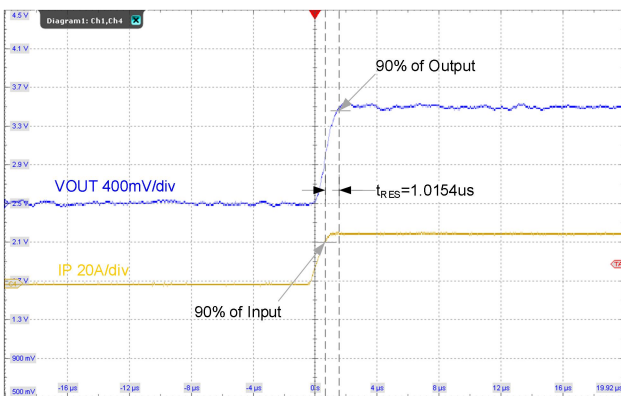
CC6927D5-3FB100 (若无特别指明, $V_{CC}=3.3V$, $T_A=25^\circ C$)

| 参数 | 符号 | 条件 | 最小值 | 典型值 | 最大值 | 单位 |
|-------------|---------------------|--|-------|-------|-------|------|
| 电流范围 | I_P | - | -100 | | 100 | A |
| 灵敏度 | $Sens$ | 全电流范围 | | 13.2 | | mV/A |
| 输出噪声有效值 | $V_{N(RMS)}$ | $I_P=0A$ | | 3.5 | | mV |
| 零电流静态输出电压 | $V_{OUT(Q)}$ | $T_A=25^\circ C$, $I_P=0A$ | 1.637 | 1.650 | 1.663 | V |
| 零电流静态输出电压温漂 | $\Delta V_{OUT(Q)}$ | $T_A=-40^\circ C \sim 125^\circ C$ $V_{OUT(Q)} \text{电压温漂} = V_{OUT(Q, TA)} - V_{OUT(Q, 25^\circ C)}$ | -15 | | 15 | mV |
| 灵敏度温漂 | $\Delta Sens$ | $T_A=-40^\circ C \sim 125^\circ C$ | -2.5 | | 2.5 | % |
| 总输出误差 | E_{TOT} | $T_A=-40^\circ C \sim 125^\circ C$, $I_P=I_{P_MAX}$ | -3.0 | | 3.0 | % |

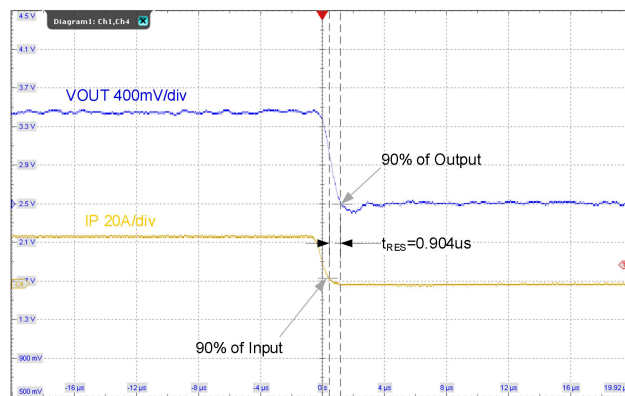
CC6927D5-3FB150 (若无特别指明, $V_{CC}=3.3V$, $T_A=25^\circ C$)

| 参数 | 符号 | 条件 | 最小值 | 典型值 | 最大值 | 单位 |
|-------------|---------------------|--|-------|-------|-------|------|
| 电流范围 | I_P | - | -150 | | 150 | A |
| 灵敏度 | $Sens$ | 全电流范围 | | 8.8 | | mV/A |
| 输出噪声有效值 | $V_{N(RMS)}$ | $I_P=0A$ | | 2.3 | | mV |
| 零电流静态输出电压 | $V_{OUT(Q)}$ | $T_A=25^\circ C$, $I_P=0A$ | 1.637 | 1.650 | 1.663 | V |
| 零电流静态输出电压温漂 | $\Delta V_{OUT(Q)}$ | $T_A=-40^\circ C \sim 125^\circ C$ $V_{OUT(Q)} \text{电压温漂} = V_{OUT(Q, TA)} - V_{OUT(Q, 25^\circ C)}$ | -10 | | 10 | mV |
| 灵敏度温漂 | $\Delta Sens$ | $T_A=-40^\circ C \sim 125^\circ C$ | -2.5 | | 2.5 | % |
| 总输出误差 | E_{TOT} | $T_A=-40^\circ C \sim 125^\circ C$, $I_P=I_{P_MAX}$ | -3.0 | | 3.0 | % |

曲线&波形 (若无特别指明, $V_{CC}=5V$, $T_A=25^\circ C$)

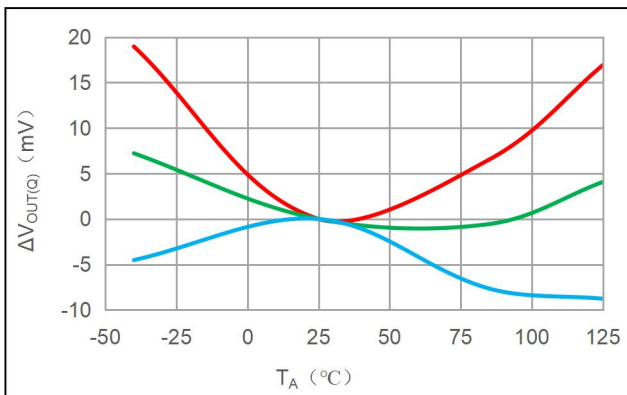


V_{OUT} 正向阶跃响应上升波形图

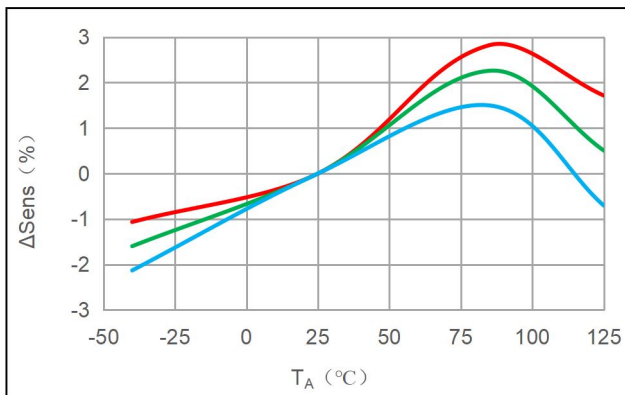


V_{OUT} 正向阶跃响应下降波形图

CC6927D5-5FB050^[1]



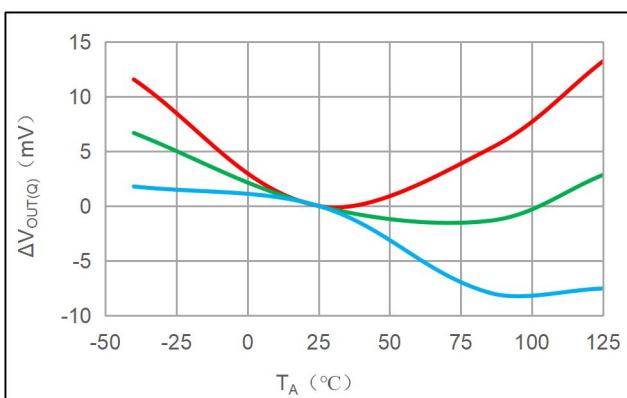
$\Delta V_{OUT(Q)}$ vs T_A



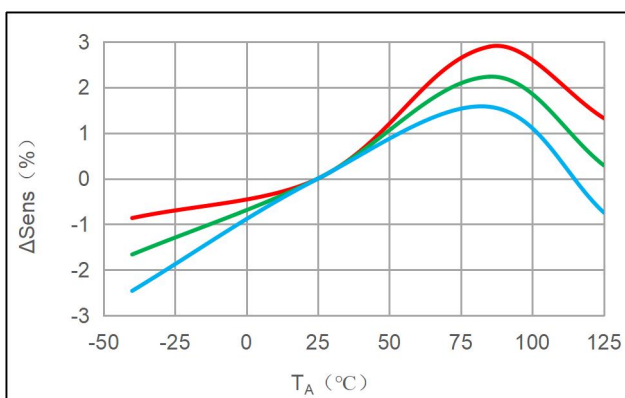
Δ Sens vs T_A

[1] 绿色代表平均值, 红色线代表平均值+3Sigma, 蓝色线代表平均值-3Sigma, 在-40°C, 25°C, 85°C, 125°C 下测量拟合得出。

CC6927D5-5FB100^[1]

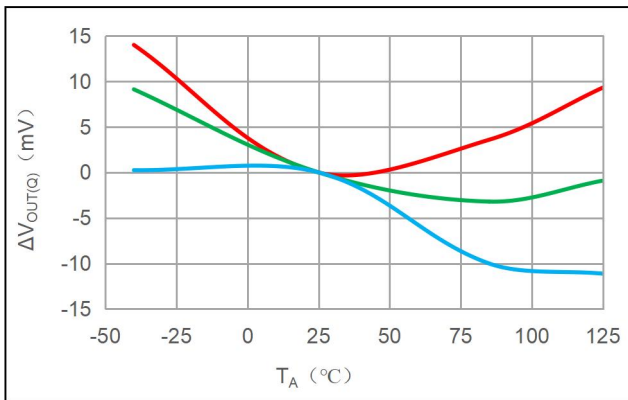
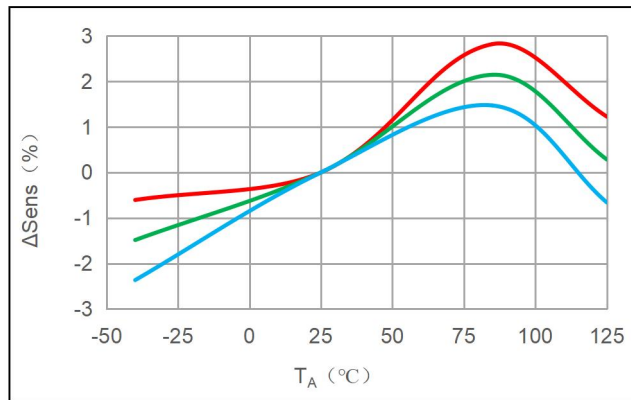


$\Delta V_{OUT(Q)}$ vs T_A

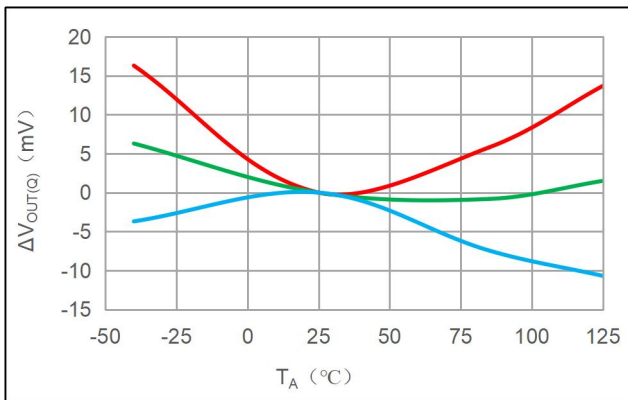
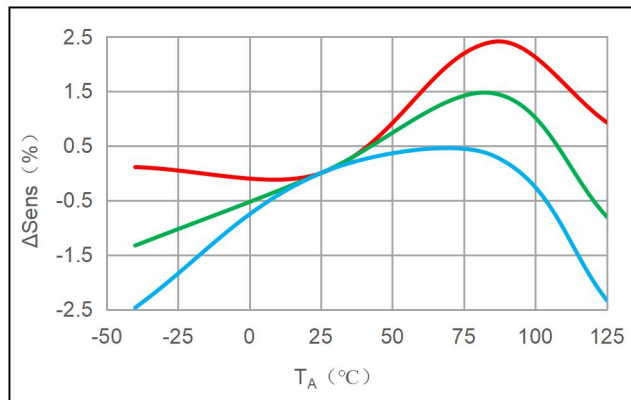


Δ Sens vs T_A

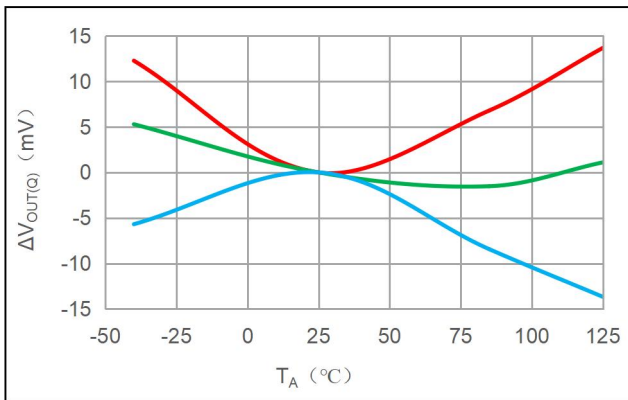
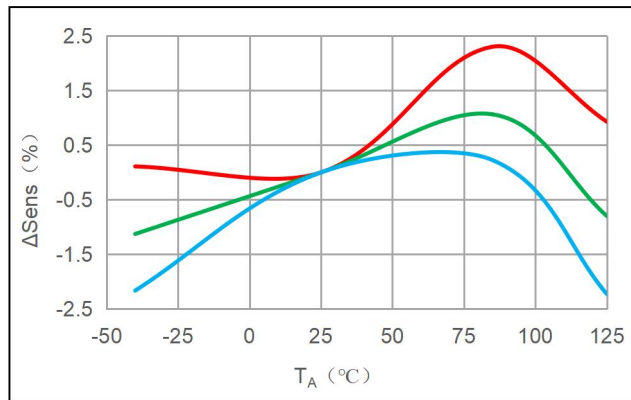
[1] 绿色代表平均值, 红色线代表平均值+3Sigma, 蓝色线代表平均值-3Sigma, 在-40°C, 25°C, 85°C, 125°C 下测量拟合得出。

CC6927D5-5FB150^[1]

 $\Delta V_{OUT(Q)} \text{ vs } T_A$

 $\Delta \text{Sens} \text{ vs } T_A$

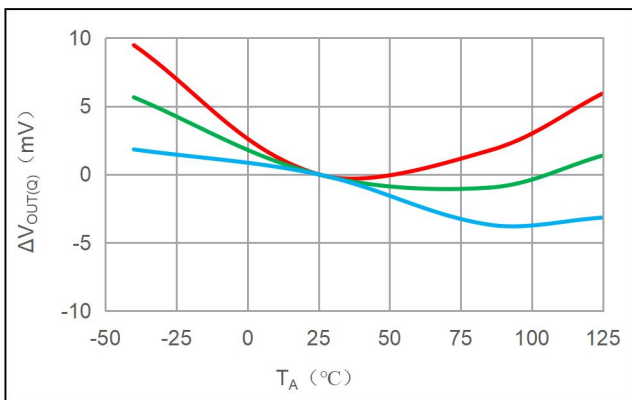
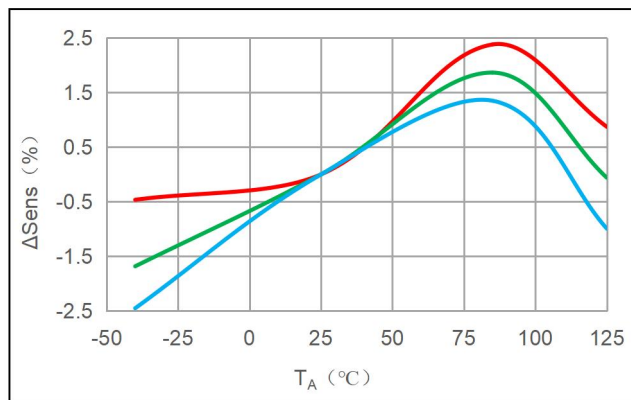
[1] 绿色代表平均值, 红色线代表平均值+3Sigma, 蓝色线代表平均值-3Sigma, 在-40°C, 25°C, 85°C, 125°C 下测量拟合得出。

CC6927D5-3FB050^[1]

 $\Delta V_{OUT(Q)} \text{ vs } T_A$

 $\Delta \text{Sens} \text{ vs } T_A$

[1] 绿色代表平均值, 红色线代表平均值+3Sigma, 蓝色线代表平均值-3Sigma, 在-40°C, 25°C, 85°C, 125°C 下测量拟合得出。

CC6927D5-3FB100^[1]

 $\Delta V_{OUT(Q)} \text{ vs } T_A$

 $\Delta \text{Sens} \text{ vs } T_A$

[1] 绿色代表平均值, 红色线代表平均值+3Sigma, 蓝色线代表平均值-3Sigma, 在-40°C, 25°C, 85°C, 125°C 下测量拟合得出。

CC6927D5-3FB150^[1] $\Delta V_{OUT(Q)}$ vs T_A  $\Delta Sens$ vs T_A

[1] 绿色代表平均值，红色线代表平均值+3Sigma，蓝色线代表平均值-3Sigma，在-40 $^{\circ}$ C, 25 $^{\circ}$ C, 85 $^{\circ}$ C, 125 $^{\circ}$ C 下测量拟合得出。

功能描述

CC6927 是基于霍尔传感器的精密电流传感器，具有 $100V_{RMS}$ 的隔离耐压，在整个温度范围内 $<3\%$ 的满量程误差输出，可实现双向电流检测。芯片内部电流主导线在室温下具有 $0.3m\Omega$ 的电阻，可减少插入损耗。输入电流产生的磁场由霍尔传感器感测，并由精密信号链放大。可用于交流和直流电流测量，带宽为 $250kHz$ 。测量电流 $50A\sim150A$ ，共有 3 种电流量程可选择，可以在推荐范围的单电源下工作。CC6927 针对高精度和温度稳定性进行了优化，在整个范围内均补偿了失调和灵敏度。

CC6927 的输入电流通过 **IP+** 和 **IP-**引脚流经封装体的原边侧，流过芯片的电流会产生与输入电流成比例的磁场，并由隔离的精密霍尔传感器 **IC** 进行测量。与其他电流测量方法相比，低阻抗的引线框路径减少了功耗，并且在原边不需要任何外部器件。此外，内部集成的差分共模抑制电路可以让芯片输出不受外部干扰磁信号影响，仅测量了由输入电流产生的磁场，从而抑制了外部磁场的干扰。

原边电流输入导线在 25°C 时的典型电阻为 0.3mΩ。引线框由铜制成，输入导线的温度系数为正，导线电阻随温度增加而变大，典型的温度系数为 3900ppm/°C，温度每升高 100°C，原边电阻就会上升 39%。

输入电流

在使用时，芯片原边（封装引脚 IP+, IP-）串联于整个回路中的任意位置。输入电流以 IP+流向 IP- 为正，反之为负。不要在 IP+和 IP- 之间并联电阻，除非有极其特殊的原因——例如最大限度的降低插入损耗——这样会使流经芯片的电流减小，导线电阻也会受到温度漂移影响，需要外部对整个系统进行温度以及精度校正。

输出特性

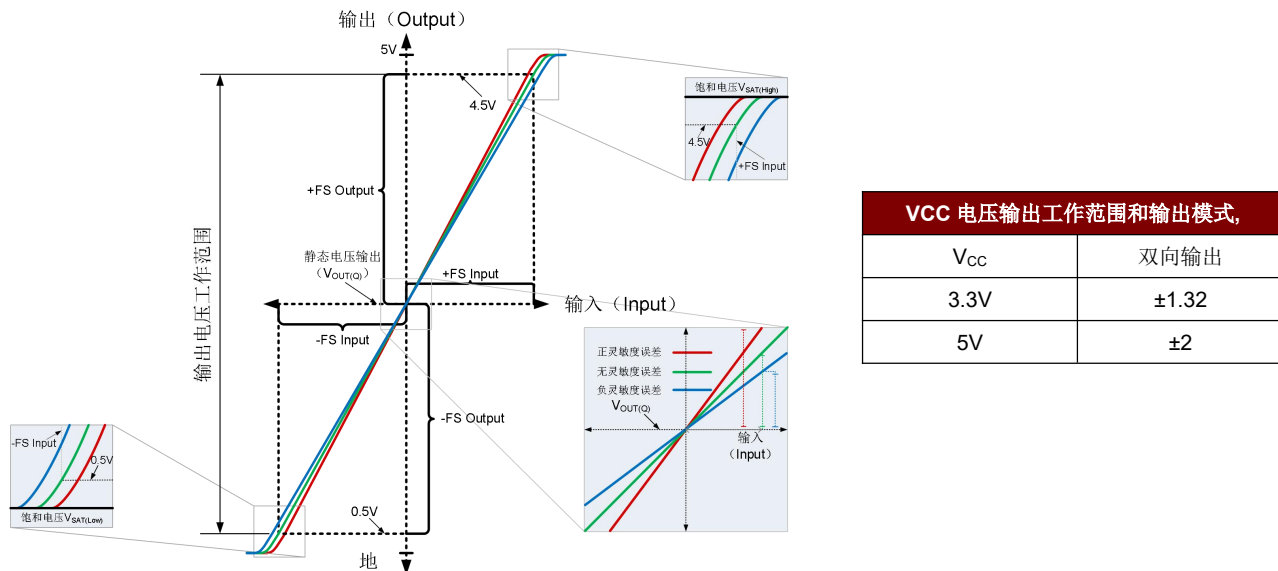
电流增大时, V_{OUT} 增大, 直至输出运放的饱和电压 ($V_{CC} - \text{轨电压}$) ; 电流减小时, V_{OUT} 减小, 直至输出运放的饱和电压 ($GND + \text{轨电压}$)。芯进保证 V_{OUT} 在 $0.5\text{~}4.5V/0.33\text{~}2.97V$ 内的精度及线性度, 为了保证大批量制造的一致性, 该范围留有一定的余度, 但是不建议客户使用该余度。

输入电流超过量程时, V_{OUT} 的输出趋近于电源的轨电压, 输入电流未超过芯片的耐受极限时, 该电压会一直保持, 输入电流恢复到量程范围之内后, V_{OUT} 的输出会恢复正常, 不会对芯片造成任何损伤。

注：该公式仅适用于直流电流计算，交流电流应用时，应注意 $|PF_{EAK}| = 1.414 \times |PR_{MS}|$ ，并注意电流方向的正负。

输出电压工作范围

如图所示，输出电压工作范围 V_{OOR} ，是 V_{OUT} 线性输出的摆幅范围。 V_{OUT} 超出 V_{OOR} 仍旧可以继续工作直到 V_{SAT} ，但在该范围内性能有所恶化。



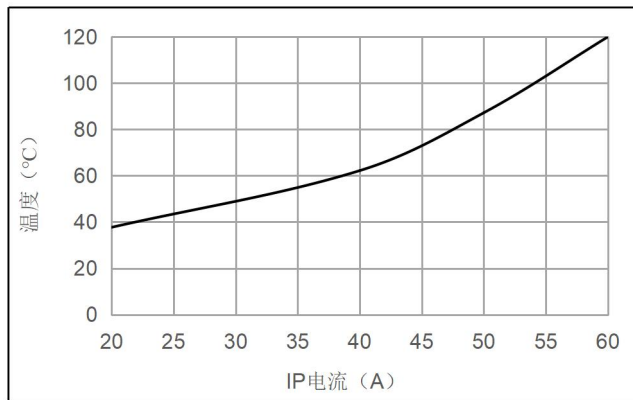
温升与输入电流关系

在设计任何电流传感系统时，都应考虑原边电流引起的自发热。当电流通过系统时，传感器、印刷电路板(PCB)和接触电阻都将产生热量。温升高度依赖于PCB布局、铜箔厚度、冷却方式和注入电流的方式。原边电流包括峰值电流，电流导通时间和占空比。本节中提供的数据是使用直流测试的，这些数据可用于近似的评估交流电流和脉冲电流的温升。

本实验测试环境为：常温，开放环境，无风状态；温升测试方式为：芯片表贴于我司 Demo 板上进行，待芯片温度稳定后，采集温度数据。以下图表显示了 CC6927 封装体表面温度与原边通入连续电流的关系。

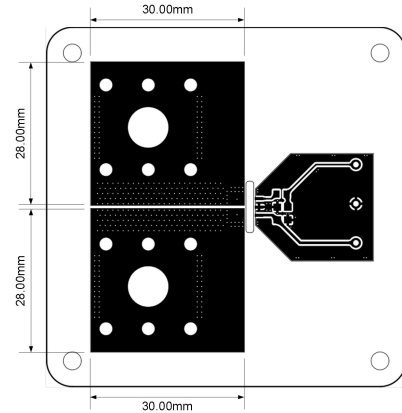
CC6927 的热容量应由最终用户在应用的特定条件下进行验证。不应超过最大结温 $T_{J(MAX)}$ (165°C)。

封装体温度与输入电流关系



芯片壳温 vs 原边电流 IP

注：基于 demo 板测试，对于具体应用，需要根据实际应用场景加强散热或者选用 T_g 高的板材等。

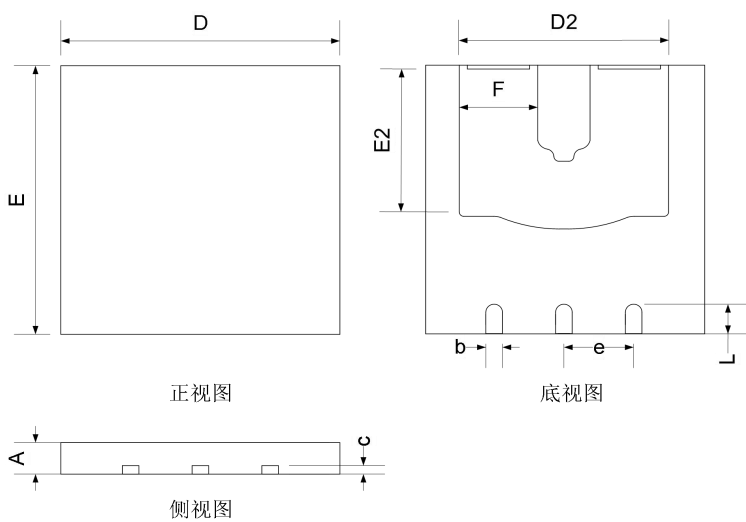


厚度 1.6mm, FR-4 四层板, 表层 2oz、内层 0.5oz 铜箔,
每片铜箔约 790mm², 与 IP 引脚相连, 各层铜箔用过孔连接

测试环境：开放环境，静止空气

封装信息

DFN(6.4×6.4) 封装



| 符号 | 尺寸 (mm) | | |
|----|-----------|------|------|
| | 最小值 | 典型值 | 最大值 |
| A | 0.70 | 0.75 | 0.80 |
| b | 0.33 | 0.38 | 0.43 |
| c | 0.203 REF | | |
| D | 6.30 | 6.40 | 6.50 |
| D2 | 4.70 | 4.80 | 4.90 |
| e | 1.60 BSC | | |
| E | 6.30 | 6.40 | 6.50 |
| E2 | 3.50 | 3.60 | 3.70 |
| L | 0.60 | 0.70 | 0.80 |
| F | 1.70 | 1.80 | 1.90 |

注意:

- 所有尺寸单位均为毫米。

打标:

第一行: CC6927D5 - 产品名称

第二行: XYZMMM

- X - 额定工作电压

- Y - 输出类型

- Z - 输出极性

- MMM - 测量电流量程

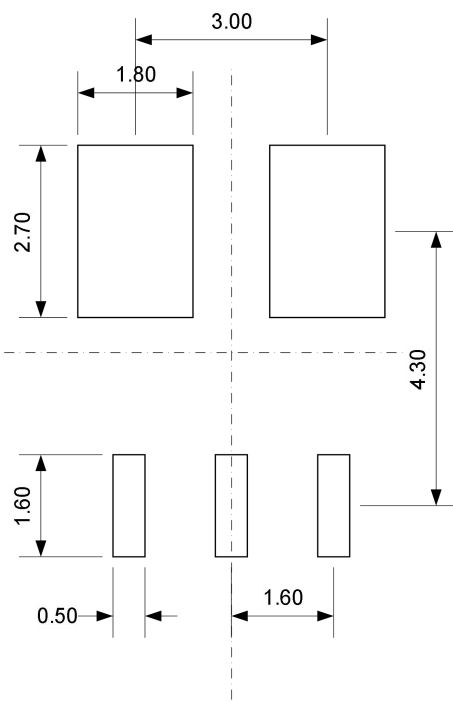
第三行: XXXXXXXX

- XXXXXXXX - 生产序号



封装参考

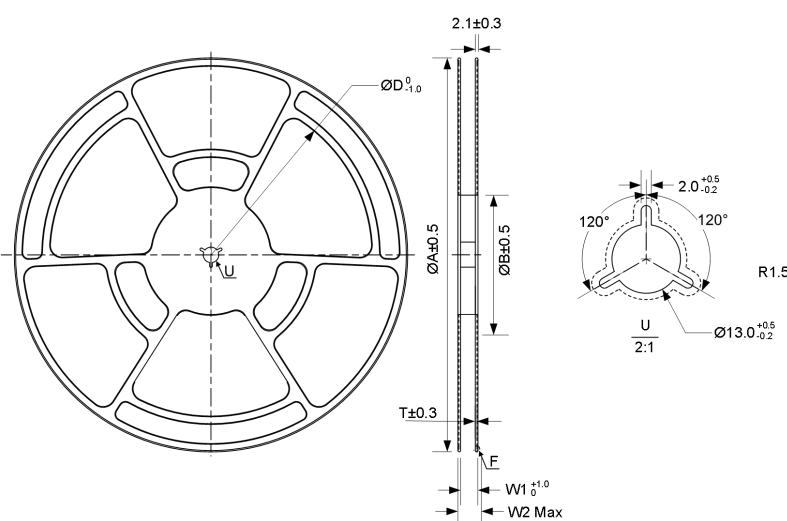
推荐焊盘



注意：所有尺寸单位为 mm。

包装信息

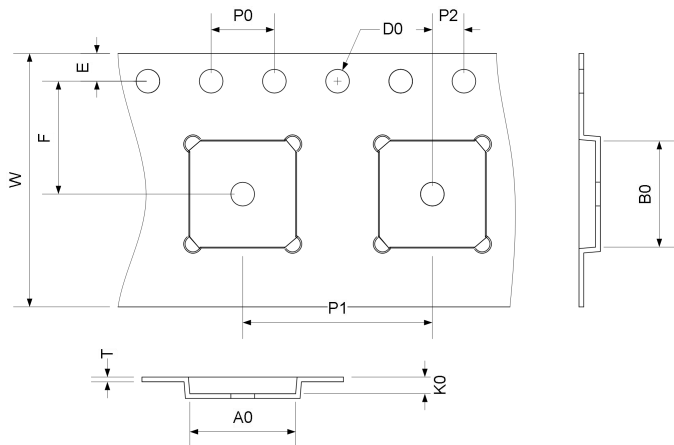
卷盘尺寸



卷盘基本尺寸(mm)

| A | B |
|--------|-----|
| 330 | 100 |
| W2 Max | T |
| 22.4 | 1.5 |
| W1 | D |
| 16.4 | 270 |

载带尺寸



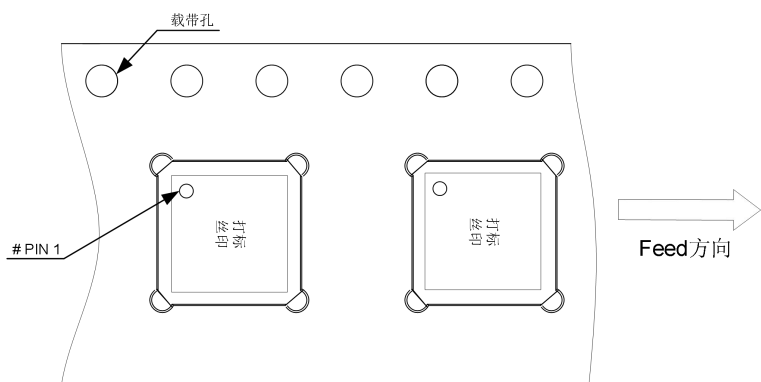
注:

- 任意连续 10 个链孔的累计误差不超过 $\pm 0.2\text{mm}$;
- 载带长度方向 250mm 距离的非平行不可超过 1mm。

载带基本尺寸 (mm)

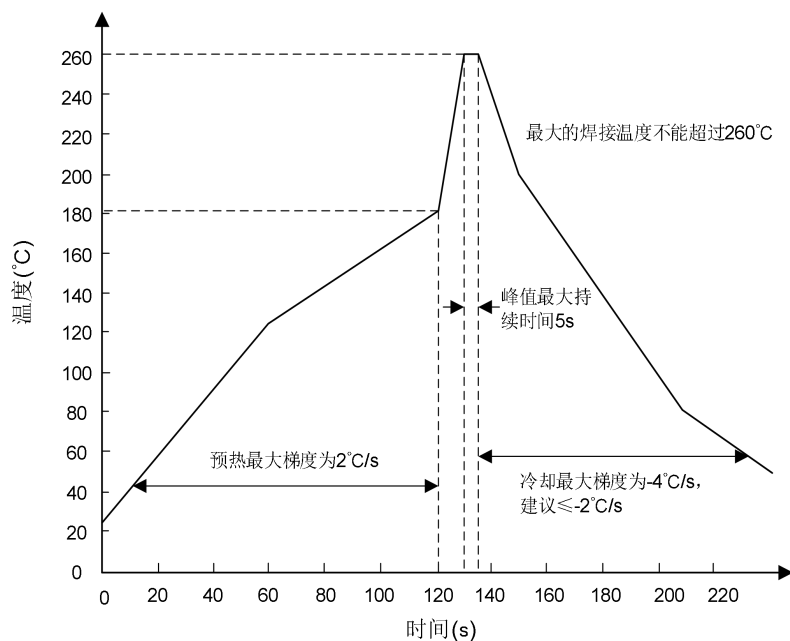
| W | A0 | B0 | K0 | P0 | P1 |
|-----------|-----------|-----------|------------|-----------|-------------|
| 16 ± 0.30 | 6.7 ± 0.1 | 6.7 ± 0.1 | 1.05 ± 0.1 | 4.0 ± 0.1 | 12.00 ± 0.1 |
| P2 | F | D1 | E | D0 | T |
| 2.0 ± 0.1 | 7.5 ± 0.1 | 1.5 ± 0.1 | 1.75 ± 0.1 | 1.5 ± 0.1 | 0.3 ± 0.05 |

载带中芯片 PIN1 的位置



芯片的焊接工艺

焊接工艺要求:



版本更新

| 开放日期 | 更改摘要 | 版本 |
|------------|--------|--------|
| 2024.08.08 | 规格书发布。 | rev1.0 |

关于芯进

成都芯进电子股份有限公司(CrossChip Microsystems Inc.)成立于 2013 年, 是一家国家高新技术企业, 从事集成电路设计与销售。公司技术实力雄厚, 拥有 60 余项各类专利, 主要应用于霍尔传感器信号处理, 拥有下列产品线:

- ✓ 高精度线性霍尔传感器
- ✓ 各类霍尔开关
- ✓ 单相电机驱动器
- ✓ 单芯片电流传感器
- ✓ AMR 磁阻传感器
- ✓ 隔离驱动类芯片

联系我们

成都

地址: 四川省成都市高新区天辰路 88 号 3 号楼 2 单元 4 楼

电话: + 86 -028 - 87787685

邮箱: support@crosschipmicro.com

网址: <https://www.crosschipmicro.com>

深圳

地址: 深圳市南山区粤海街道科园路 18 号北科大厦 6 楼 605 室

上海

地址: 上海市浦东新区盛荣路 88 号盛大天地源创谷 1 号楼 602 室

苏州

地址: 江苏省苏州市虎丘区苏州高新区金山东路 78 号